ПРОЦЕССЫ И АППАРАТЫ ХИМИЧЕСКОЙ ТЕХНОЛОГИИ

УДК 621.177

В. В. Алексеев, И. И. Поникаров

ИССЛЕДОВАНИЕ АЭРОДИНАМИЧЕСКОГО СОПРОТИВЛЕНИЯ ВХОДНОЙ ЗОНЫ ПЫЛЕУЛАВЛИВАНИЯ ВИХРЕВОГО ПЫЛЕГАЗОРАЗДЕЛИТЕЛЯ

Ключевые слова: аэродинамическое сопротивление, пылегазовые смеси, пылегазоразделитель.

Проведено исследование процесса аэродинамического сопротивления входной зоны пылеулавливания в вихревом пылегазоразделителе и представлены результаты экспериментальных исследований.

Keywords: aerodynamic drag, dust and gas mixtures, dust-gas separator.

A study of the process drag the entrance area in a swirling dust collection dust-gas separator and the results of comparison of experimental data.

В данной статье приведены результаты экспериментальных исследований аэродинамического сопротивления входной зоны пылеулавливания вихревого пылегазоразделителя (ВПГР) [1] и рассмотрены влияние режимных и конструктивных параметров.

Аэродинамическое сопротивление входной зоны аппарата ΔP_1 , Па определяется затратами энергии на организацию процесса начального пылеулавливания при переменной крутке потока и рассчитывается по уравнению:

$$\Delta P_1 = \zeta_1 \cdot \frac{\rho \cdot V_D^2}{2},\tag{1}$$

где ζ_1 – коэффициент сопротивления входной зоны пылеулавливания; ρ – плотность газовой смеси, кг/м 3 ; $V_D = G_V / F_K$ – скорость движения смеси в кольцевом сечении, м/с; G_V – объёмный расход газовой смеси, м 3 /с; $F_K = \frac{\pi}{4} \cdot (D^2 - d^2)$ – площадь кольцевого сечения, м 2 ; D – внутренний диаметр аппарата, м; d – наружный диаметр выхлопной трубы, м.

В уравнении (1) ζ_1 является функцией конструктивных и режимных параметров, которые могут быть определены экспериментально в виде зависимости:

$$\zeta_1 = f_1(\overline{R}_{\text{ex}}; \overline{a}; \overline{b}; \overline{d}; \text{Re}_D),$$
 (2)

где $\overline{R}_{\rm ex}=2 \cdot R_{\rm ex}/D=1 \cdot \overline{a}$ — относительный радиус входа; $\overline{a}=a/D$ — относительные ширина и $\overline{b}=b/D$ — высота входного патрубка; $\overline{d}=d/D$ — относительный диаметр выхлопной трубы; ${\rm Re}_D=V_D \cdot D_3 \cdot \rho/\mu$ — критерий Рейнольдса; μ — вязкость газовой смеси, $\Pi a \cdot c$; $D_3=D \cdot d$ — эквивалентный диаметр, м; μ — коэффициент динамической вязкости газа, $\Pi a \cdot c$.

Уравнение (2) может быть преобразовано и представлено в виде:

$$\zeta_1 = f(\theta_{\text{RY}} \cdot \text{Re}_D), \tag{3}$$

где $\theta_{\rm ex} = \overline{R}_{\rm ex}/K_T$ — безразмерный входной момент количества движения (обобщенный параметр крутки); $K_T = F_{\rm ex}/F_K$ — коэффициент крутки потока (относительная площадь входного патрубка); $F_{\rm ex} = a \cdot b$ - площадь входного патрубка, м².

Для определения влияния режимных параметров на аэродинамическое сопротивление входной зоны пылеулавливания были проведены исследования при постоянных конструктивных параметрах ($\overline{R}_{BX} = 0.8; K_T = 0.16$)

Исследования проводились в аппарате диаметром $D=120\,$ мм, с наружным диаметром выхлопной трубы $d=0.047\,$ м, шириной $a=0.024\,$ м и высотой $b=0.06\,$ м входного патрубка, на чистом воздухе по известной методике.

Расходы газа изменялись в интервале от 50 до 250 м^3 /ч, при температурах воздуха $20 \pm 1 \, ^{\circ}\text{C}$.

На рис. 1 приведена зависимость коэффициента сопротивления входной зоны ζ_1 от критерия Рейнольдса Re_D .

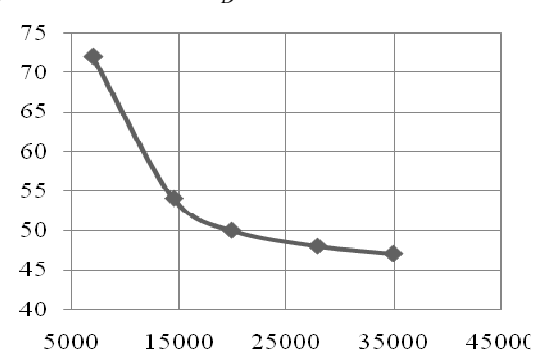


Рис. 1 – Зависимость коэффициента сопротивления входной зоны ζ_1 от критерий Рейнольдса Re_D

Из этого рисунка видно, что с увеличением критерия Рейнольдса ${\rm Re}_D$ значение коэффициента

 ζ_1 уменьшается, и при значении ${\rm Re}_D > (35 \div 40) \cdot 10^3$ достигается автомодельный режим течения. При значении ${\rm Re}_D \leq (35 \div 40) \cdot 10^3$ значение коэффициента ζ_1 определяется режимными и конструктивными параметрами, а при значениях ${\rm Re}_D > (35 \div 40) \cdot 10^3$ - только конструктивными.

Исследования, проведенные с изменением конструктивных параметров при числах $Re_D = (5 \div 40) \cdot 10^3$, представлены на рис. 2 - 4.

На рис. 2 представлена зависимость ζ_1 от $\overline{R}_{\mathsf{ex}}$ и величины расхода G_V .

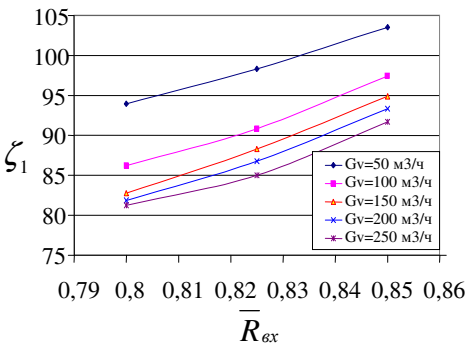


Рис. 2 — Зависимость коэффициента сопротивления входной зоны ζ_1 от относительного радиуса входа $\overline{R}_{\rm ex}$

Анализ этого графика показывает, что при постоянном расходе газа коэффициент сопротивления входной зоны ζ_1 возрастает с увеличением относительного радиуса входа $\overline{R}_{\rm ex}$. Данное увеличение величины ζ_1 объясняется уменьшением площади входного патрубка. Но величина ζ_1 уменьшается с увеличением расхода газа G_V , что свидетельствует о приближении к автомодельной области течения.

К уменьшению значения коэффициента сопротивления ζ_1 приводит увеличение значения

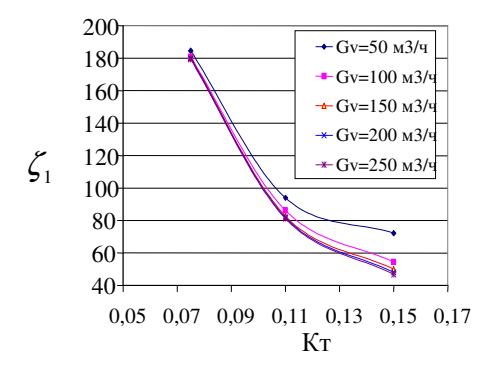


Рис. 3 — Зависимость коэффициента сопротивления входной зоны ζ_1 от коэффициента крутки K_T

коэффициента крутки К_т, о чем свидетельствует график, представленный на рис. 3.

Это объясняется увеличением площади входного патрубка и соответственно уменьшением сопротивления для прохода через патрубок газовой смеси. Уменьшение коэффициента крутки приводит к возрастанию тангенциальной составляющей скорости \overline{V} φ . При этом увеличение значения скорости \overline{V} φ приводит к увеличению статического давления вблизи стенок аппарата и его аэродинамического сопротивления.

Данные, приведенные на рис. 4, получены с учетом зависимостей, изображенных на рис. 2 и 3, поскольку величина безразмерного входного момента количества движения $\theta_{\rm ex}$ прямо пропорциональна величине $\overline{R}_{\rm ex}$ и обратно пропорциональна величине $K_{\rm T}$.

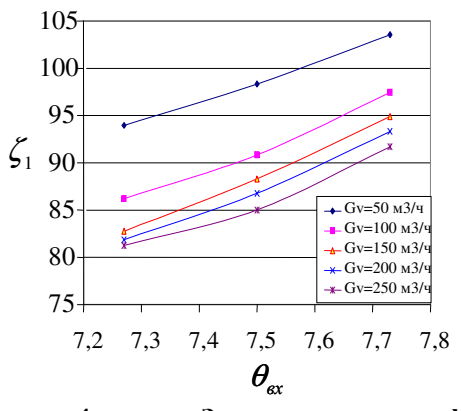


Рис. 4 — Зависимость коэффициента сопротивления входной зоны ζ_1 от входного момента количества движения $\theta_{\rm ex}$

Анализ рисунка показывает, что величина ζ_1 растет с увеличением параметра $\theta_{\rm ex}$, но уменьшается с увеличением расхода газа $G_{\rm v}$. Также при увеличении $\theta_{\rm ex}$, для тангенциального закручивающего устройства наблюдается увеличение значений \overline{V}_{φ} по всему радиусу трубы, что увеличивает центробежное пылеулавливание во входной зоне.

Выводы

- 1. Расчет аэродинамического сопротивления входной зоны ВПГР рекомендуется выполнять по коэффициенту сопротивления входной зоны ζ_1 и скорости движения газов в контактной зоне аппарата $V_{\rm D}$.
- 2. Данная методика также может быть использована для расчета аэродинамического сопротивления других аппаратов вихревого типа: аппаратов комплексной очистки газов [8], вихревых пылегазоразделителей [9] и контактных теплообменников вихревого типа [10].

Литература

- 1. А.М. Валеев., П.В. Алексеев, А.Н. Филимонов, И.И. Поникаров, *Интенсификация тепло-массообменных процессов, промышленная безопасность и экология*, Казань, Россия, 2005, С. 77 79.
- 2. В.Н. Ужов., А.Ю. Вальдберг, Б.И. Мягков, И.К. Решидов, *Очистка промышленных газов от пыли*. Химия, Москва, 1981. 392 с.
- 3. Справочник по пыле- и золоулавливанию / Под общ. ред. А.А. Русанова. Энергия, Москва 1975. 296 с.
- 4. P. Rozin, E. Rammler, W Intelmann. Z. Ver. Dent. Ing., Bd.76, 433-437 (1932).
- 5. В.Ю. Падва. Автореф. дисс. канд. техн. наук, Моск. центральный научно исследовательский ин-т

- экспериментального проектирования жилища, Москва, 1969. 16 с.
- 6. П.А. Коузов, *Сравнительная оценка циклонов различных типов. Обеспыливание в металлургии.* Металлургия, Москва, 1971. 185 с.
- 7. Б.П. Устименко, *Процессы турбулентного переноса* во вращающихся течениях. Наука, Алма Ата, 1977. 228 с.
- 8. В.В. Алексеев, В.О. Лукин, И.И. Поникаров. *Вест. Казан. технол. ун-та*, **16**, 7, 217 221 (2013).
- 9. В.В. Алексеев, И.И. Поникаров, П.В. Алексеев. *Вест. Казан. технол. ун-та*, **16**, 20, 220 223 (2013).
- 10. Л.Н. Москалев, С.И. Поникаров, И.И. Поникаров, В.В. Алексеев. *Вест. Казан. технол. ун-та*, **15**, 10, 240 242 (2012).

[©] В. В. Алексеев - к.т.н., доцент кафедры машин и аппаратов химических производств КНИТУ, valexeevtt@mail.ru; И. И. Поникаров - д.т.н., профессор той же кафедры, советник ректората.